С. М. МХИТАРЯН, Ф. С. ТОРОСЯН

О КОНТАКТНОМ ВЗАИМОДЕЙСТВИИ КРУГОВОГО ДИСКА И БЕСКОНЕЧНОЙ ПЛАСТИНЫ С КРУГОВЫМ ОТВЕРСТИЕМ, ПОДКРЕПЛЕННЫМ ТОНКИМ КОЛЬЦЕВЫМ ПОКРЫТИЕМ

Контактные задачи о вдавливании кругового упругого диска в бесконечную плоскость с круговым отверстнем близких радиусов, когда контакт осуществляется через их контуры, ввилу их важного прикладного значения стали вредметом исследования многих авторов [1—6]. Характерной особенностью постановки этого класса задач является то, что к ним не применимы классические гипотезы Герца. Последнее вносит определенные коррективы в структуру разрешающего интегрального уравнения, усложияя сс. и в конечном итоге приводит к некоторым трудностям при построении его эффективного решения.

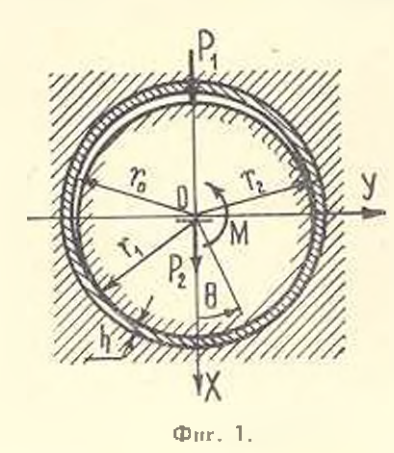
В настоящей работе рассматривается контактная задача о давлении кругового упругого диска на контур бесконечной пластины с круговым отверстием, когда ее граница усилена тонкостенным элементом в виде приваренного или приклеенного к ней кольцевого упругого покрытия. Усиливающее тонкое покрытие трактуется в рамках теории тонких цилиндрических оболочек, основаниой на известных гипотезах Кирхгофа-Лява, не учитывающих поперечное обжатие материала. Определение законов распределения контактных напряжений под диском сводится к решению интегрального уравнения Фредгольма первого рода. При помощи известного аппарата ортогональных многочленов Якоби это уравнение сводится к эквивалентной квазивполне регулярной бесконечной системе линейных уравнений. Получены числовые результаты. В определенной мере выяснен эффект подкрепляющего тойкого кольпа.

Обсуждаемая здесь задача в известном смысле представляет аналог задачи из [2], встречающейся в вопросах трения и износа.

§ 1. Постановка задачи и вывод основных уравнений. Пусть в круговой вырез радиуса f_1 упругой бесконечной пластины, усиленный тонким кольцевым покрытием малой толщины h_1 вставлен диск радуиса f_1 . Диск прижимается к пластине силами P_1 , P_2 и скручивается моментом M (фиг. 1). Считается, что механическое поведение этих тел описывается уравнениями теории плоской деформации или обобщенного плоского напряженного состояния. Разность $\varepsilon = r_1 - h - r_1$ предполагается величиной порядка упругих перемещении. Требуется определить законы распределения контактных напряжений под диском и размеры области контакта.

В качестве физической модели усиливающего покрытия принимается, как уже говорилось, геометрическая гипотеза Кирхгофа-Лява теории тонких оболочек [7].

Обозначим через $q_1(\theta)$ и $\tau_1(\theta)$ соответственно нормальные и тангенциальные контактные напряжения под диском, а через $q_2(\theta)$ и $\tau_2(\theta)$ —контактные напряжения, действующие на границе бесконечной пластины, то есть на линии соединения усиливающего кольца с основанием. Участком контакта



под диском пусть будет $[-\theta_1, \theta_2]$. Далее, через $v^{(1)}$, и и и обозначим соответственно радиальные и тангенциальные компоненты упругих перемещений граничных точек диска и бесконечной пластины от внешних и указанных нагрузок. Через v_r , и v_r , обозначим компоненты перемещения граничных точек усиливающего кольца, где индексы "+" и "-" соотнетствуют точкам, находящимся на окружностях с радиусами r_2 и $r_0 = r_0 - h$.

Теперь перейдем к выводу основ-

ных разрешающих уравнений поставленной задачи.

На липии соединения усиливающего кольца с основанием можем за-

$$v_{i} = v^{(2)}, \quad v_{i} = v^{(2)} \quad (-\pi < \theta \leqslant \pi)$$

Но поскольку толщина h усиливающего кольца предполагается малой $(h/r_2 \le 1/20~[7])$, то преисбрегая его поперечной деформацией и принимая $v_n \approx v_0^-$, будем иметь

$$v_{\tau} \approx v^{(2)}, \quad v_{\tau} \approx v^{(3)} \quad (-\pi < \theta \leqslant \pi)$$

Учитывая эти соотношения и предполагая, что во всей зоне контакта действуют только силы сцепления, легко похазать, что там должны выполняться следующие условия [1, 2]:

$$-v_{\cdot}^{(1)}+v_{\cdot}^{(2)}=\delta\cos\theta-r_{1}\sin\theta-\varepsilon\left(1-\cos\theta\right)$$

$$v_{\cdot}^{(1)}-v_{\cdot}^{(2)}=\sin\theta-2r_{1}\psi\sin^{2}\frac{r_{1}}{2}$$

$$(-\theta_{1}\leqslant\theta\leqslant\theta_{2})$$

$$(1.1)$$

Здесь δ — жесткое смещение диска в направлении оси oX, а ψ — угол поворота диска относительно первоначальной точки касания, возникающего из-за наличия скручивающего момента M, вследствие чего область контакта становится несимметричной относительно указанной точки.

Далее, на основании известного комплексного представления плоской задачи теории упругости [8] легко получить, что компоненты перемещений $v_i^{(1)}$, $v_0^{(2)}$ и $v_i^{(2)}$ ныражаются формулами:

$$\begin{split} v_{i}^{(1)} &= \frac{(\kappa_{i}+1) \ r_{i}}{4\pi\mu_{i}} \int_{t_{i}}^{t_{i}} q_{i}\left(\xi\right) \ln 2 \left| \sin \frac{\theta-\xi}{2} \right| d\xi + \\ &+ \frac{(\kappa_{i}-1) \ r_{i}}{8\mu_{i}} \int_{-\theta_{i}}^{\theta_{i}} \tau_{i}\left(\xi\right) \operatorname{sign}\left(\theta-\xi\right) d\xi - \int_{-\theta_{i}}^{\theta_{i}} q_{i}\left(\xi\right) K^{(1)}\left(\theta-\xi\right) d\xi + \\ &+ \int_{-\theta_{i}}^{\theta_{i}} \tau_{i}\left(\xi\right) K^{(2)}\left(\theta-\xi\right) d\xi + \frac{r_{i}}{2\pi\mu_{i}} \int_{-\theta_{i}}^{\theta_{i}} q_{i}\left(\xi\right) \cos \left(\theta-\xi\right) d\xi + f_{i}\left(\theta\right) \\ &v_{0}^{(1)} &= \frac{(\kappa_{i}+1) \ r_{i}}{4\pi\mu_{i}} \int_{-\theta_{i}}^{\theta_{i}} \tau_{i}\left(\xi\right) \ln 2 \left| \sin \frac{\theta-\xi}{2} \right| d\xi - \\ &- \frac{(\kappa_{i}-1) \ r_{i}}{8\mu_{i}} \int_{-\theta_{i}}^{\theta_{i}} q_{i}\left(\xi\right) \operatorname{sign}\left(\theta-\xi\right) d\xi - \int_{-\theta_{i}}^{\theta_{i}} \tau_{i}\left(\xi\right) K^{(1)}\left(\theta-\xi\right) d\xi - \\ &- \int_{-\theta_{i}}^{\theta_{i}} q_{i}\left(\xi\right) K^{(2)}\left(\theta-\xi\right) d\xi - \frac{r_{i}}{2\pi\mu_{i}} \int_{-\theta_{i}}^{\theta_{i}} \tau_{i}\left(\xi\right) \cos \left(\theta-\xi\right) d\xi + f_{i}\left(\theta\right) \\ &- \int_{-\theta_{i}}^{\theta_{i}} q_{i}\left(\xi\right) K^{(2)}\left(\theta-\xi\right) d\xi - \frac{r_{i}}{2\pi\mu_{i}} \int_{-\theta_{i}}^{\theta_{i}} \tau_{i}\left(\xi\right) \cos \left(\theta-\xi\right) d\xi + f_{i}\left(\theta\right) \\ &- \left(-\pi < \theta \leqslant \pi\right) \end{split}$$

 $2\mu_2(v^{(2)} + iv_0^{(2)}) = -\lambda_2 r_2 \sum_{k=2}^{\infty} \frac{\overline{B}}{k-1} e^{-ik\theta} - \sum_{k=0}^{\infty} \frac{\overline{B}_{-k}}{k-1} e^{ik\theta}$ (1.3)

где

$$B_{k} = -\frac{1}{2\pi} \int_{-\pi}^{\pi} [q_{2}(\xi) - i\epsilon_{2}(\xi)] e^{-ik!} d\xi \quad (k = 0, \pm 1, \pm 2, ...)$$

При этом имеют место условия равновесия диска

$$r_1 \int_{-\theta_1} [q_1(\xi) - r_1(\xi)] e^{-r_1} dt = P_1 - P_2, \quad r_1^2 \int_{-\theta_1} \tau_1(\xi) dt = M$$
 (1.4)

Здесь $x_j = 3 - 4v_j$ (j = 1, 2) для плоской деформации и $x_j = (3 - v_j)/(1 + v_j)$ для случая плоского напряженного состояния: $\mu = E_j/2(1 + v_j)$, а E_j и v_j — соотпетственно модули упругости и коэффициенты Пуассона для материалов диска (j = 1) и бескопечной пластины (j = 2). Кроме того, введены обозначения

$$K^{(1)}(\theta - \xi) = \frac{(x_1 + 1) r_1}{4\pi a_1} R_{11}(\theta - \xi) + \frac{(x_1 + 1) r_2}{8\pi a_1} R_{11}(\theta - \xi)$$

$$K^{(2)}(\theta - \xi) = \frac{(x_1 + 1) r_1}{4\pi\mu_1} R_1(\theta - \xi) + \frac{(x_1 - 1) r_1}{8\pi\mu_1} R_{22}(\theta - \xi) - \frac{1 - 1}{8\pi\mu_1} (\theta - \xi)$$

где

$$R_{11}(\theta - \xi) = 2 \sin^{2} \frac{\theta - \frac{1}{2} \ln 2 \left| \sin \frac{\theta - \frac{\xi}{2}}{2} \right|}{R_{12}(\theta - \xi)}$$

$$R_{12}(\theta - \xi) = \left[\pi - \left| \theta - \frac{\xi}{2} \right| \right] \sin (\theta - \xi) \operatorname{sign}(\theta - \xi)$$

$$R_{21}(\theta - \xi) = \sin (\theta - \frac{1}{2} \ln 2 \left| \sin \frac{\theta - \frac{\xi}{2}}{2} \right|$$

$$R_{22}(\theta - \xi) = -2 \left[\pi - \left| \theta - \frac{\xi}{2} \right| \right] \sin^{2} \frac{\theta - \frac{\xi}{2}}{2} \operatorname{sign}(\theta - \xi)$$

$$f_{1}(\theta) = \frac{(x_{1} + 1) r_{1}}{8 - \mu_{1}} \int q_{1}(\xi) d\xi + \frac{1 - \frac{1}{2} r_{1}}{8 - \mu_{1}} P_{1} - \frac{1}{2 - \mu_{1}} P_{1} \cos \theta - \frac{1}{2 - \mu_{1}} P_{1} \sin^{2} \theta - \frac{x_{1}}{4 - \mu_{1}} P_{2} \cos \theta \ln \left(2 \cos \frac{\theta}{2}\right) - \frac{1}{2 - \mu_{1}} \frac{1}{(1 + x_{1})} P_{2} \cos \theta$$

$$f_{2}(\theta) = \frac{x_{1} + 1}{4 - \mu_{1}} M + \frac{1}{4 - \mu_{1}} P_{1} \sin^{2} \ln \left(2 \cos \frac{\theta}{2}\right)$$

$$= \frac{1}{8 - \mu_{1}} P_{1} \theta \cos \theta + \frac{1}{2 - \mu_{1}} P_{2} \sin \theta$$

Легко видеть, что функции $K^{(1)}(\theta-1)$ (j=1,2) непрерывны в области $-\theta_1=0$, $1\leqslant \theta_2$ и имеют квадратично суммируемые частные производные первого порядка.

Теперь, рассматривая усиливающее кольцо как цилиндрическую тонкую оболочку, запишем уравнения его равновесия в перемещениях

$$\frac{D}{r_2^4} \left(\frac{d^3 v_6^{(2)}}{d^6} \right) = \frac{h}{r_2^2} \left(\frac{1}{r_2} - v_r^{(1)} \right) = q_1(\theta) - q_2(\theta)$$

$$\frac{D}{r_2^4} \left(\frac{d^3 v_r^{(2)}}{d^6} - \frac{d^2 v_\theta^{(2)}}{d^6} \right) - \frac{h}{r_2^2} \left(2\mu_0 + \mu_0 \right) \left(\frac{d^2 v_\theta^{(2)}}{d^6} + \frac{dv_r^{(2)}}{d^6} \right) = (1.5)$$

Здесь $D=E_0h^3/12$ — жесткость усиливающего кольца на изгиб; $2\mu_0+\lambda_0=E_0(1-\nu_0)/(1+\omega)(1-2\nu_0)$ для плоской деформации и $2\mu_0+\mu_0=E_0/(1-\nu^2)$ для плоского напряженного состояния, а E_0 и ν_0 —соответственно модуль упругости и коэффициент Пуассона для материала усиливающего кольца.

Отметим, что при выводе уравнений (1.5) за перемещения срединной линии оболочки приняты перемещения линии соединения усиливающего кольца с основанием, поперечная деформация тонкого кольца взята равной нулю, а для выражения поперечной силы через перемещения использованы известные формулы сопротивления материалов для кривого бруса. Следует еще отметить, что уравнения (1.5) с точностью коэффициентов совпадают с соответствующими уравнениями цилиндрической оболочки, ныведенными в [7] на основе классических гипотез Кирхгофа-Лява. Однако, указанные предположения, лежащие в основе (1.5) и являющиеся модификацией этих гипотез, для обсуждаемой задачи представляются более естественными и, поэтому, в дальнейшем будут использованы именно они.

Поскольку требуется определить только законы распределения контактных напряжений под диском $q_1(0)$ и $\tau_1(0)$, то система ураннений (1.5) будет использована для исключения $q_2(0)$ и $\tau_2(0)$. Для этого достаточно подставить в правую часть (1.5) разложения функций $q_1(0)$, $\tau_1(0)$ (j=1,2) в ряд Фурье, в левую часть выражения и $v_0^{(2)}$ из (1.3), а затем приравнивать коэффициенты при $e^{k\theta}$ ($k=0,\pm 1,\pm 2,\ldots$).

Упомянутые разложения имеют вид

$$-q_{1}(\theta)+i\tau_{1}(\theta)=\sum_{k=-\infty}^{\infty}A_{k}e^{ik\theta}, \quad A_{k}=-\frac{1}{2\pi}\int_{0}^{q_{1}}[q_{1}(\xi)-i\tau_{1}(\xi)]e^{-ik\xi}d\xi$$

$$-q_{2}(\theta)+i\tau_{3}(\theta)=\sum_{k=-\infty}^{\infty}B_{k}e^{ik\theta}, \quad B_{k}=-\frac{1}{2\pi}\int_{0}^{\pi}[q_{2}(\xi)-i\tau_{2}(\xi)]e^{-ik\xi}d\xi$$

Выполняя поочередно указанные операции, получим

Re
$$B_0 = \frac{1}{1+b}$$
 Re A_0 , Im $B_1 = \text{Im } A_0$, $B_1 = A_1$, $B_{-1} = A_{-1}/(1+a+b)$

$$B_k = \frac{d_k^{(1)}}{a_k} A_k - \frac{d_k^{(2)}}{d_k} A_k - \frac{d_k^{(2)}}{d_k} A_k + \frac{d_k^{(2)}}{d_k} A_k + \frac{d_k^{(2)}}{d_k} A_k$$
, $(k-2, 3, ...)$ (1.6)

где

$$a = D/2r_{2}v_{2}, \quad b = (2v_{0} + \lambda_{0}) h/2r_{2}v_{2}, \quad d_{k}^{(1)} = ak^{3} + ak^{2} + bk + b + 2$$

$$d_{k}^{(2)} = -ak^{3} + ak^{3} + bk - b, \quad d_{k}^{(3)} = -x_{2}ak^{3} - x_{2}ak^{3} + x_{2}bk + x_{2}b$$

$$d_{k}^{(4)} = x_{2}ak^{3} - x_{2}ak^{3} + x_{2}bk - x_{2}b + 2$$

$$d_{k} = 2x_{2}abk^{2}(k^{2} - 1) + x_{2}ak^{2}(k - 1) + ak^{2}(k + 1) + 4$$

$$+ x_{2}b(k - 1) + b(k + 1) + 2$$

Подставляя выражения (j-1,2) из (1.2) и (1.3) с учетом (1.6) в систему (1.1), затем умножая второе из уравнений (1.1) из отри-

цательную мнимую единицу— і и складывая с первым, после некоторых элементарных выкладок придем к интегральному уравнению

$$\frac{(x_1+1)r_1}{4\pi\mu_1} \left\{ \left[\ln \frac{\theta-\xi^{-1}}{2} + i \frac{\pi}{2} \frac{1}{x_1+1} \operatorname{sign}(\theta-\xi) \right] \chi(\xi) d\xi + \int_{0}^{\theta} G_1(\theta-\xi) \chi(\xi) d\xi + \int_{0}^{\theta} G_2(\theta-\xi) \overline{\chi(\xi)} d\xi - \int_{0}^{\theta} (\theta), \quad (-\theta_1 \leqslant \theta \leqslant \theta_2) d\xi \right\}$$

Переидем к новым переменным

$$t = \theta + \beta$$
, $s = \xi + \beta$, $\beta = (\theta_1 - \theta_2)/2$, $(\theta_1 + \theta_2)/2 = \alpha$

Считая, что диск упругий и отличен от жесткой шайбы, предыдущее уравнение запишем в виде

$$\int \left| \ln \frac{1}{2 \left| \sin \frac{t-s}{2} \right|} - i - t \ln \operatorname{sign} (t-s) \right| \chi_{0}(s) ds + \int K_{1}(t-s) \chi_{0}(s) ds + \int K_{2}(t-s) \overline{\chi_{0}(s)} ds + \int K_{3}(t-s) \overline{\chi_{0}(s)} ds + \int K_{4}(t-s) \overline{\chi_{0}(s)$$

где

th
$$\pi \mu = -(z_1 - 1)/(z_1 + 1)$$

В ядре уравнения (1.7) выделены его главная (сингулярная) часть в виде ядра

$$\ln \frac{1}{2 \left| \sin \frac{t-s}{2} \right|} - i \frac{\pi}{2} \operatorname{th} \pi \mu \operatorname{sign} (t-s)$$

и регулярная часть в виде непрерывных функций

$$K_1(t-s) = 4\pi u_1 G_1(t-s)/(u_1-1) r_1, \quad K_2(t-s) = 4\pi u_1 G_2(t-s)/(u_1+1) r_1$$

$$G_{1}(t-s) = K^{\{1\}}(t-s) + \frac{r_{2}}{4\pi u} \sum_{a=0}^{n} a^{\{1\}} \cos k (t-s) + \frac{r_{2}}{4\pi u_{3}(1+a+b)} \cos (t-s) + \frac{r_{3}}{4\pi u_{3}(1+a+b)}$$

$$G_{2}(t-s) = \frac{1}{4^{-\mu_{2}}} \sum_{k=2}^{\infty} \cos k (t-s) - \frac{1}{2^{-\mu_{1}}} \cos (t-s)$$

$$(-x \le t, \quad s \le x)$$

Здесь

$$a_k^{(1)} = [2x_2ak^4 + 2x_2ak^2 + 2x_2bk^2 + 2x_2(k+1) + 2(k-1) + 2x_2b]/(k^2-1) d_k$$

$$+ 2(k-1) + 2x_2b]/(k^2-1) d_k$$

$$a^{(2)} = -[4x_2ak^3 + 4x_2bk + 2x_2(k+1) - 2(k-1)]/(k^2-1) d_k$$

$$a^{(2)} = -2(x_2ak^2 - x_2b)/d_k \quad (k=2, 3, ...)$$

Через $\chi_0(t)$ обозначена комбинация компонентов неизвестных контактных напряжений в комплексной форме, приведенных к безразмерному виду

$$\chi_0(t) = r_2 \chi(t) / 4\pi \mu_2 \epsilon = p_0(t) + i\tau_0(t)$$

$$p_0(t) = r_2 p(t) / 4\tau \mu_2 \epsilon = r_2 q_1(t-\beta) / 4\tau \mu_2 \epsilon$$

$$\tau_0(t) = r_2 \tau(t) / 4\tau \mu_2 \epsilon = r_3 \tau_1(t-\beta) / 4\pi \mu_2 \epsilon$$

Функция $f_0(t)$ имеет вид

$$f_{0}(t) = \mu_{1} r \int (t - a)/(x_{1} + 1) \, \mu_{2} r_{1} \varepsilon = f_{0}^{-1}(t) + i f_{0}^{-2}(t)$$

$$f_{0}^{-1}(t) = P_{10} \left[\frac{1}{2} + \left(\frac{a_{1}}{2(1 + a + b)} - \frac{2}{1 + x_{1}} \right) \cos(t - 3) - \cos(t - \beta) \ln\left(2 \cos\frac{a_{2}}{2}\right) - \frac{1}{2} \frac{x_{1} - 1}{x_{1} + 1} (t - \beta) \sin(t - \beta) \right] +$$

$$P_{10} \left(\frac{a_{2}}{2(1 + a + b)} - \frac{1}{(1 + x_{1})^{2}} \right) \cos(t - \beta) - \left(\frac{a_{2}}{2(1 + a + b)} - \frac{1}{(1 + x_{1})^{2}} \right) \cos(t - \beta) - \left(\frac{a_{2}}{2(1 + a + b)} - \frac{1}{(1 + a + b)} \right) \left[\int_{0}^{a_{2}} p_{0}(t) \, dt - g_{0} \right]$$

$$- \psi_{0} g_{0} \sin(t - \beta) - \left[\frac{1}{2} - g_{0}/(1 + b) \right] \int_{0}^{a_{2}} p_{0}(t) \, dt - g_{0}$$

$$- \sin(t - \beta) \ln\left(2 \cos\frac{a_{2}}{2}\right) + \frac{1}{2} \frac{a_{2} - 1}{a_{2} + 1} (t - \beta) \cos(t - \beta) -$$

$$- P_{20} \left(\frac{g_{0}}{2(1 + a + b)} - \frac{2}{(1 + x_{1})^{2}} \right) \sin(t - \beta) -$$

$$- \frac{\delta_{0}}{2} g_{0} \sin(t - \beta) - \frac{2}{(1 + x_{1})^{2}} \left(\frac{1 - \cos(t - \beta)}{1 - \cos(t - \beta)} \right)$$

Здесь введены также безразмерные величины:

$$\begin{split} P_{10} &= r_2 P_1 / 4 \pi \alpha_2 r_1 \varepsilon, \quad P_{20} &= r_2 P_2 / 4 \pi \alpha_2 r_1 \varepsilon, \quad M_0 = r_2 M / 4 \pi \alpha_2 r_2 \varepsilon \\ \delta_0 &= \qquad \varphi_0 = r_1 \psi / \varepsilon, \qquad = r_0 \mu_1 / r_1 \alpha_2 (1 + \kappa_1) \end{split}$$

Ядра $K_j(t-s)$ (j=1,2) непрерывны в квадрате — $\alpha \leqslant t, s \leqslant \alpha$ и имеют квадратично суммируемые первые частные производные.

В частном случае, когда усиливающее покрытие отсутствует (h=0), будем иметь следующее интегральное уравнение:

$$\int_{-\pi}^{\pi} \ln \frac{1}{2 \left| \sin \frac{t-s}{2} \right|} = i \frac{\pi}{2} \operatorname{th} \pi_{1} \operatorname{sign}(t-s) \left| Z_{0}(s) \, ds + \int_{-\pi}^{K_{0}} \left(t-s \right) Z_{0}(s) \, ds - \int_{-\pi}^{K_{0}} \left(t-s \right) Z_{0}(s) \, ds = \int_{-\pi}^{(0)} \left(t - s$$

имеющее вполне аналогичную к (1.7) структуру. Здесь

th
$$\pi \gamma = (z_1 - 1) [(z_2 - 1) r_2 \mu_1 / (z_1 - 1) r_1 \mu_2 - 1] / [1 + (1 + z_2) g_0] (1 + z_1) = \beta_0$$

$$2K_0 (t - s) = 2R_{12} (t - s) - \beta_0 R_{22} (t - s) + t + i [2R_{01} (t - s) - \beta_0 R_{22} (t - s) + (t - s) \beta_0]$$

$$f^{(0)}(t) = [f_0^{(1)}(t) + i f_0^{(2)}(t) - 1 / 2 (P_{10} + P_{20}) g_0 \cos(t - \beta) + t]$$

$$g_0 \int_0^\infty F_0(t) dt + i [M_0 g_0 + 1 / 2 (P_{10} + P_{20}) g_0 \sin(t - \beta)] / [1 + (1 + z_2) g_0]$$

В заключение приведем определяющие уравнения также в том случае, когда при контактном взаимодействии указанных тел возникают силы кулоновского трения, то есть когда $\tau(t) = \lambda \rho(t)$ [8], где λ — коэффициент трения. Эти уравнения будут иметь вид

$$\int_{a}^{a} \ln \frac{1}{2 \left| \sin \frac{t-s}{2} \right|} + \frac{1}{2} \operatorname{tg} = \operatorname{sign}(t-s) \left| p_{0}(s) \, ds + \frac{1}{2} \right| + \int_{a}^{b} K_{1}(t-s) \, p_{0}(s) \, ds = f_{1}^{s}(t)$$
(1.8)

Здесь j=1— для общего случая, а j=2— для случая h=0. Кроме того,

$$K_{1}^{*}(t-s) = \operatorname{Re} |K_{1}(t-s)| + K_{2}(t-s) - \operatorname{Im} [K_{1}(t-s)]$$

$$K_{2}^{*}(t-s) = \operatorname{Re} |K_{0}(t-s)| - 2 \cos(t-s) / [1 + (1+x_{2}) g_{0}] (1+x_{1}) - \lim_{t \to \infty} [K_{0}(t-s)]$$

$$f_{1}^{*}(t) = \operatorname{Re} |f_{0}(t)|, \quad f_{2}^{*}(t) - \operatorname{Re} [f^{(0)}(t)]$$

$$\operatorname{tg} \pi v^{(1)} = -L(x_{1}-1) / (x_{1}-1), \quad t = i\beta_{0}$$

Астко заметить, что формальной заменой и на 14 главная часть уравнеиня (1.7) перейдет в гланиую часть уравнения (1.8). Последнее дает возможность их решение построить единым аналитическим методом.

Таким образом, решение рассматриваемой задачи свелось к решению интегрального уравнении (1.7), откуда определятся законы распределения исивнестных контактных напряжений $p_0(t)$ и $t_0(t)$. Подлежат определению также размеры области контакта α β , жесткое смещение δ и угол относительного поворота ψ диска. Поэтому к уравнению (1.7) должны быть добавлены условия равновесия диска (1.4) и условия ограниченности контактных напряжений на концах зоны контакта [1, 3, 9].

$$\chi_a(\pm z) = 0 \tag{1.9}$$

§ 2. Сведение интегрального уравнения (1.7) к бескомечной системс линейных алгебраических уравнений и ее исследование. Возможные особенности контактных напряжений на концах зоны контакта должны иметь вид [5, 10—12]

$$X_0(t) = O\{(a-t)^{a_0}(a+t)^{b_0}\}$$
 при $t \to \pm a$

Следовательно, уо(!) можно представить в виде

$$\lambda_0(t) = (a-t)^a (a+t)^{1a} \lambda_0(t) = \left(\sin \frac{a-t}{2}\right) \left(\sin \frac{a-t}{2}\right) \chi^{*a}(t)$$
 (2.1)

где $q=s_0-1=-1/2-i\mu$, $p=-1=-1/2+i\mu$, а $\chi^{**}(t)$ — регулярные функции на отрезке [-s,s], притом $\chi^{**}(t)=O(\alpha^1-t^2)$ при $t\to\pm a$.

Исходя на формулы (2.1), решение уравнения (1.7) представим рядом

$$V_0(t) = w(t) \sum_{m=0}^{\infty} Z_m P_m^{(\tau_m p)}(x)$$
 (2.2)

с неневестными ковффициентами 12π При этом, ввиду (1.9), должны иметь место условия

$$\sum_{m=0}^{\infty} Z_m P_m^{(a-p)}(\pm 1) = 0$$

Здесь

$$w(t) = \frac{1}{2} \left(\sec \frac{t}{2} \right)^{2+\tau+\rho} \left(\sin \frac{\alpha - t}{2} \right)^{\tau} \left(\sin \frac{\alpha - t}{2} \right)^{\rho}, \qquad x = \operatorname{tg} \frac{t}{2} / \operatorname{tg} \frac{\alpha}{2}$$

 $\{P_m^{(-r)}(x)\}_{m=0}$ (Re $(r,\rho)>-1$) — многочлены Якоби, ортогональные на отрезке [-1,1] с весом $(1-x)^r(1+x)^r$.

При сведении задачи к бесконечной системе нам понадобится соотно-

$$\int_{-a}^{a} \ln \frac{1}{2\left|\sin\frac{t-s}{2}\right|} - i\frac{\pi}{2} \operatorname{th} \pi \mu \operatorname{sign}(t-s) \left|w\left(s\right)P_{m}^{(\beta,\beta)}\left(y\right)ds = \\ = \left(\sin\frac{\alpha}{2}\right)^{1+\alpha+\beta} \sec\frac{\alpha}{2} \left[\gamma_{m}P_{m}^{(\beta,\alpha)}(x) - \eta_{m} \ln\left(2\operatorname{tg}\frac{\alpha}{2}\cos\frac{t}{2}\right) - J_{m}^{\beta,\beta}\right] (2.3) \\ (m = 0, 1, 2, ...)$$

которое следует из результатов работы [13].

Здесь

$$y = \operatorname{tg} \frac{s}{2} / \operatorname{tg} \frac{a}{2} \qquad 2\gamma_0 = -i\pi^n \operatorname{th} \pi u \operatorname{sech} \pi \mu - 2\pi \operatorname{sech} \pi \mu \left[\ln 2 + \psi \left(0.5 - i\mu \right) - \psi \left(1 \right) \right]$$

$$\gamma_m = \pi m^{-1} \operatorname{sech} \pi u, \quad (m = 1, 2, ...)$$

$$\begin{cases} h_0 & \text{при } m = 0 \\ 0 & \text{при } m = 1, 2, ... \end{cases} \qquad h_0 = \frac{2^{1+\alpha+\rho} \Gamma \left(1 + \beta \right) \Gamma \left(1 + \beta \right)}{\left(1 + \beta + \beta \right) \Gamma \left(1 + \beta + \beta \right)} = \pi \operatorname{sech} \pi \mu$$

$$\int_m^{\pi_0} \mathbb{I} = \left(\sin \frac{a}{2} \right)^{-1-\alpha-\rho} \cos \frac{a}{2} \int_{-2}^{\pi} \ln \left(\cos \frac{t}{2} \right) w \left(t \right) P_m^{(\sigma_0, \rho)} (x) \, dt$$

$$(m = 0, 1, 2, ...)$$

Г (z) — гамма-функция, Ф (z) — пси-функция Эйлера.

Подставляя (2.2) в (1.7) и учитывая (2.3), уравнение (1.7) известным способом сведем к бесконечной системе линейных уравнений

$$Z_{n} + H_{n} \sum_{m=1}^{\infty} m^{-1} Z_{n} K_{n,m}^{(1)} + H_{n} \sum_{m=1}^{\infty} m^{-1} \widehat{Z}_{m} K_{n,m}^{(2)} = H_{n} n^{-1} b_{n}$$

$$(n = 1, 2, ...)$$
(2.4)

Кроме того, получим соотношение

$$\begin{split} Z_0 \left[1 - \gamma_0^{-1} h_0 \ln \left(2 \operatorname{tg} \frac{\alpha}{2} \right) - \gamma_0^{-1} J_0^{\mathfrak{p}, \, \mathfrak{g}} \right] - \\ - \gamma_0^{-1} \sum_{m=0}^{\infty} Z_m J_m^{\mathfrak{g}, \, \mathfrak{g}} + \sum_{m=0}^{\infty} Z_m K_{0, \, m}^{(1)} + \sum_{m=0}^{\infty} \overline{Z}_m K_{0, \, m}^{(2)} = b_0 \end{split}$$

откуда можем определить коэффициент Z_0 .

Здесь введены следующие обозначения:

$$K_{n,m}^{(1)} = \int_{a}^{\infty} \overline{w(t)} P_{n}^{(p, s)}(x) dt \int_{-a}^{\infty} \frac{\partial}{\partial s} [K_{1}(t-s)] w_{0}(s) P_{m-1}^{(s+1, s+1)}(y) ds$$

$$K_{n,m}^{(2)} = \int_{a}^{\infty} \overline{w(t)} P_{n}^{(p, s)}(x) dt \int_{a}^{s} \frac{\partial}{\partial s} [K_{2}(t-s)] \overline{w_{0}(s)} P_{m-1}^{(s+1, s+1)}(y) ds$$

$$(n, m = 1, 2, ...)$$

$$b_{n} = \int_{a}^{\infty} \frac{d}{dt} [f_{0}(t)] \overline{w_{0}(t)} P_{n-1}^{(p+1, s+1)}(x) dt - Z_{0}K_{n}^{(1)} - \overline{Z_{0}}K_{n}^{(2)} - \overline{Z_{0}}K_{n}^{(2)}$$

где

$$K_{n,0}^{(1)} = \int \overline{w_0(t)} P_{n-1}^{(p+1, n+1)}(x) dt \int \frac{\partial}{\partial t} [K_1(t-s)] w(s) ds$$

$$K_{n,0}^{(z)} = \int_{-\alpha}^{z} \overline{w_0(t)} e^{-ts} (x) dt \int_{-\alpha}^{\alpha} |K_n(t-s)| w(s) ds, \quad (n = 1, 2, ...)$$

$$w_0(t) = \frac{1}{2} (\cos t - \cos \alpha) w(t), \quad H_0 = \cos^2 - \left(\sin \frac{t}{2}\right)^{-2(1+\alpha+\alpha)} (\gamma_0 h_0)^{-1}$$

$$\frac{(n+1-\alpha)! (n+1+\alpha+\beta)}{n! (2n+1+\alpha+\beta)! (n-1+\alpha+\beta)} \quad (n = 0, 1, 2, ...)$$

$$x = tg \frac{t}{2} \left(tg \frac{\alpha}{2} \right), \quad y = tg \frac{s}{2} \left(tg \frac{\alpha}{2} \right)$$

Исследуем систему (2.4) на регулярность. С этой целью пведем новые неизвестные по формуле

$$Z_n = n^{1-\epsilon_1} z_n$$
 $(n = 1, 2,...)$

где ε_1 — сколь угодно малое положительное фиксированное число. Тогда придем к бесконечной системе

$$z_{n} + \frac{11}{n} n^{i_{1}} \sum_{m=1}^{\infty} \frac{1}{m^{i_{1}}} + \frac{11}{n} = \sum_{m=1}^{\infty} \frac{1}{m^{i_{1}}} K_{n,m}^{(2)} = \frac{11}{n} n^{i_{1}} b_{n}, \quad (n = 1, 2, ...)$$

которая квазивлоднерегудярна, то есть $S_n^{(1)}$, $S_n^{(2)} \to 0$ при $n \to \infty$, где

$$S_n^{(1)} = \frac{H_n}{n} n^{\epsilon_1} \sum_{n=1}^{\infty} m^{-\epsilon_1} |K^{(1)}|, \quad S_n^{(2)} = \frac{H_n}{n} n^{\epsilon_1} \sum_{n=1}^{\infty} m^{-\epsilon_1} |K_{n,m}^{(2)}|$$

Действительно, пользуясь известным асимптотическим представлением для функции I(z) [14], легко показать, что

$$H_n/n = 2^{-1} \operatorname{etg} \frac{1}{2} \operatorname{ch} = \mu n \left[1 + O(n^{-1}) \right] \quad \text{при} \quad n \to \infty$$
 (2.5)

С другой стороны, следуя [12, 15], на основе асимптотического представления многочленов Якоби [16]

$$P_n^{(\sigma_1, \rho)}(\cos \tau) \approx \frac{\cos \left[(n + (1 + \sigma + \rho)/2) \right] \tau - (1 + 2\sigma) \pi/4}{\left[(n + \sigma) \right] \left((n + \sigma) \right]} + O(n^{-12})$$

$$(n \to \infty)$$

Re
$$(s, p) > -1$$
, 0

и с учетом (2.5)для достаточно больших $n,\ m$ будем иметь

$$S_n^{(1)} = M_1 n^{1/1 + \epsilon_1} \sum_{m} \frac{1}{m^{1/2 + \epsilon_1}} |K_{n,m}^{(1)m}| \leqslant N_2 n^{1/2 + \epsilon_1} \sum_{l=1}^{\infty} \left|\sum_{m} (A_{n,m}^{(l)})^2\right|^{1/2}$$

Здесь N_1 , N_2 — некоторые постоянные, а через обозначены аначения $K_{n,m}$ для больших n и m, которые эдесь в явном виде не приводятся. Отметим лишь, что их можно представить формулой

$$K_{m}^{(1)} = \sum_{j=1}^{4} A_{n,m}^{(j)}$$

гле A — коэффициенты Фурье некоторых квадратично суммируемых функций f(t,s) (j=1-4) ($-\alpha \leqslant t$, $s \leqslant \alpha$) по полным ортогональным системам многочленов

$$\{U_n(x)|U_m(y); U_n(x)|T_m(y); T_n(x)|U_m(y); T_n(x)|T_m(y)\}_{m=0}^{\infty}$$

гле $T_n(x)$ и — соответственно многочлены Чебышева первого и второго рода. Следовательно, для каждого разложения будет иметь место равенство Парсеваля, откуда будет вытекать сходимость рядов

$$\sum_{n=m}^{\infty} (A_{n(m)}^{(j)})^2, \quad (j=1, 2, 3, 4)$$

Тогда сходятся и ряды [17]

$$\sum_{n}^{\infty} \left[\sum_{m}^{\infty} (\mathcal{A}_{n,m}^{(f)})^{2} \right]$$

Следовательно, по крайнен мере.

$$\sum_{mm}^{\infty} (A_{s}^{(j)})^{2} = O[n_{7i}^{-(1+2i_{f})}], \quad n \to \infty$$

где — малое положительное, но фиксированное число. Отсюда следует, что

$$S_n^{(1)} = O(n^{\epsilon_1 - \epsilon_2}), \quad n \to \infty$$

Выбрав $\varepsilon_1 < \varepsilon_2$, будем иметь $S_n^{(1)} \to 0$ при $n \to \infty$. Аналогичным образом можно показать, что $S_n^{(2)} \to 0$ при $n \to \infty$, а

$$H_n n^{i_1} b_n / n^2 = O(n^{-1+i_1-a_1})$$
 при $n \to \infty$

- § 3. Конкретный пример. В качестве конкретного примера рассмотрим два случая:
- 1) когда усиливающее покрытие настолько гибкое, что можно пренебречь его изгибной жесткостью (D=0);
- 2) когда толщина усиливающего покрытия h=0, то есть граница бесконсчиой пластины не усилена покрытием.

В обонх случаях считается, что отсутствуют тангенциальные контактные напряжения, вследствие чего следует принять M=0. Тогда в зоне

контакта будет действовать только нормальное контактнос давление $\rho(t)$, притом $\rho(-t)=\rho(t)$, и область контакта становится симметричной относительно оси σX ($\beta=0$, $\psi=0$). Условие равновесия диска (при $P_1=0$) примет вид

$$\int_{a}^{b} p_0(s) \cos s ds = P_{40}$$

В обоих случаях задача сводится к следующему интегральному урав-

$$\int \int \ln \frac{1}{2 \left| \sin \frac{t-s}{2} \right|} + K_0^{(j)}(t-s) \left| p_0(s) \, ds = f^{(j)}(t), \quad (-\alpha < t < \alpha) \quad (3.1)$$

гле j=1,2 соответственно случаям 1) и 2), а

$$K_0 \cdot (t-s) = R_{11}(t-s) + \beta_1 R_{12}(t-s) + \beta_2 \sum_{k=2}^{65} a_k \cos k (t-s)$$

$$2K_0^2 (t-s) = 2R_{11}(t-s) - \beta_0 R_{11}(t-s)$$

$$A^{(1)} f^{(1)}(t) = P_{10} [g_0/2 (1+b) - 2/(1+x_1)^2 + 2/(1+t_1) - x_0 (1+x_1)] \cos t + (\hat{c}_0 + 1) g_0 \cos t$$

$$A^{(2)} f^{(2)}(t) = P_{20} [2/(1+x_1) - 2/(1-x_1)^2] \cos t + (\hat{c}_0 + 1) g_0 \cos t$$

$$a_1 = (2x_2^2bk - 2x_2bk + x_2^2k - 2x_2k + k + x_2^2 - 1)/(k^2 - 1) d_{k0}$$

Здесь

$$\beta_1 = (x_1 - 1)/2 (1 + x_1) A^{(1)}, \qquad = 2g_0/(1 + x_2) A^{(1)}, \quad A^{(1)} = 1 + 4x_2g_0/(1 + x_2)$$

$$A^{(2)} = 1 + (1 + x_2) g_0, \quad d_{k0} = -(k - 1) + b(k + 1) + 2$$

Решение интегрального уравнения (3.1), к которому сводится рассматриваемая задача при отсутствии тангенциальных контактных напряжений, и схема получения численных результатов даны п статье [6], поэтому на этих вопросах здесь не будем останавливаться.

В обсуждаемых случаях 1) и 2) числовые расчеты для различных эначения α были проведены при плоской деформации, когда упругие постоянные диска и бескопечной пластины одинаковы $E_1=E_2$. Затем было принято $E_1=E_2=1$ 2, $h_1r_2=0.05$, а коэффициент Пуассона $v_0=v_1=v_2=0.3$. Кроме того, положено $r_1\approx r_0$, в то премя как принимается $\varepsilon\neq 0$.

При указанных значениях параметров вычисления проводились на ЭМВ Наири-2. Бесконечные системы решались методом редукции, притом, чтобы получить максимальные контактные напряжения с тремя верными знаками, достаточно было, как выяснилось, брать четыре уравнения из бесконечной системы.

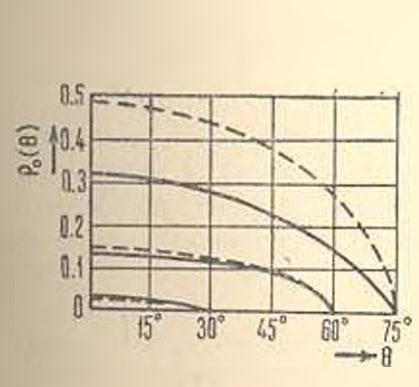
Tobruga 1

	Саучай 1) (А≠0)			Случай 2) (л 0)		
	a 30°	a = 60°	1-75	x 30°	7 ==60°	a= 75°
P_{2a}	0.0295	0.2003	0.4972	0.0281	0.2110	0.7778
1/2	0.2144	0.7686	1.5370	0.1938	0.8904	2.6330
X_{\bullet}	0.0097	0.0730	0.1911	0.0093	0.0770	0.3057
X	-0.0096	0.0710	-0.1966	-0.0093	0.0750	-0.2965
X,	-0.0001	0.0018	0.0060	0	0.0020	-0.0084
Xy	0	-0.0002	-0.0005	0	0	-0.0008
p ₀ (⁵) _{ma1}	0.0371	0.1420	0.3225	0,0359	0,1500	0.4865

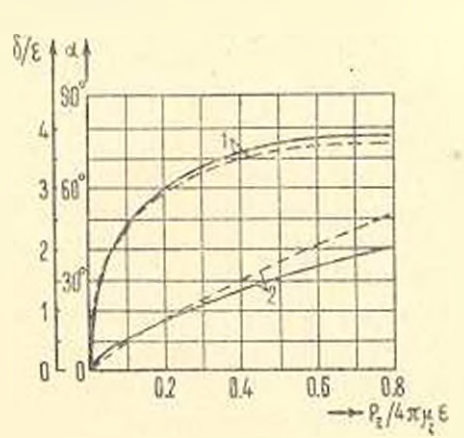
Значения постоянных $P_{(a)}$ δ_{a} , коэффициентов $X_n(n=0,1,2,3)$ и мансимальных контактных напряжений $p_0(\theta)_{(a)}$, при $\alpha=30^\circ,60^\circ$ и 75 приведены в габа. 1, а на графиках фиг. 2 показано влияние изменения длины участка контакта на закон распределения нормального контактного давления $p_n(\theta)$ (сплошные и пунктирные линии соответствуют случаям 1) и 2)).

При больших значениях α контактиме напряжения резко возрастают, то есть существует критическое значение $\alpha < 90^\circ$ [5].

На фиг. 3 приведены зависимости длины участка контакта 2α и величины жесткого смещения диска δ от прижимающей силы ρ_2 . Эти зависимости на фиг. 3 даны соответственно кривыми 1 и 2.



Фиг. 2.



Фиг. 3.

При отсутствии тангенциальных контактных напряжений результаты работы [5] в основном совпадают с изложенными здесь применительно в случаю 2).

Институт механики АН Арминской ССР Ленинаканский филиал ЕрПИ им. К. Маркса

Поступная 23 ІХ 1977

U. II. VERRUTSILE, S. U. PACAUSILE

ՇՐՁԱՆԱՑԻՆ ՍԿԱՎԱՌԱԿԻ ԵՎ ԲԱԲԱԿ ՕՂԱԿԱՏԻՆ ԺԱԾԿՈՒՑԹՈՎ ՈՒԺԻՂԱՑՎԱԺ ԿԼՈՐ ԱՆՑՔՈՎ ԱՆՎԵՐՋ ԾԱԼԻ ԿՈՆՏԱԿՏԱՑԻՆ ՓՈԽԱՉԴԵՑՈՒԹՅԱՆ ՄԱՍԵՆ

Undergrand

Աշխատանրում դիտարկվում է շրջանային առաձգական սկավառակի և կլոր անցքով անվերջ սայի կոնտակատյին փոխազդեցության խնդիրը, երբ սայի նզրադիծը ուժեղացված է օգակային րարակ առաձգական ծածկույթիվ Առաձգական ծածկույթի համար օգտադործվում են գլանային քաղանքների տեսության որոշիչ հավասարումները՝ Կիրխով-Լլավի հայտնի հիպորնկների բրջանակներում։

Նշված խնդրի լուծումը բնրված է ֆրհդմոլմի առային սեռի ինտեգրալ մավասարման լուծմանը։ Յակոբիի օրթոցոնալ բաղմանդամների մարեմատի կական ապարատի օգնությամբ այդ մավասարման Համար ստացված է էֆեկաիվ լուծում։ Թվային արդյունըները ներկայացված են աղյուսակով և դծադրևրով։

ON CONTACT INTERACTION OF A ROUND DISK AND AN INFINITE PLATE WITH A CIRCULAR HOLE SUPPORTED BY A THIN CIRCULAR SURFACE

S. M. MKHITARIAN, F. S. TOROSSIAN

3 u m m a r y

A contact problem on the pressure of an elastic round disk on the contour of an infinite plate with a circular hole where its boundary is supported by a thin element in the shape of an elastic circular surface attached to it, is considered. The supporting thin surface is interpreted in terms of the theory of thin cylindrical shells based on the well-known Kirchholf-Love hypothesis.

The solution of the above problem is reduced to that of the first kind Fredholm integral equation. Its effective solution is presented. The numerical results are obtained.

ЛИТЕРАТУРА

- 1. Штосрман И. Я. Контактная задача теории упругости. М.—А. Гостехивдат, 1949.
- 2. Короачинский М. В. О некоторых попросах эластореологии, имеющих приложение в теории трения. Сб. «Трение и износ в машинах . XV. М., ип-т. Машиноведения. 1962
- 3. Кочанов Ф. П. Решение обобщенной задачи И. Я. Штаермана Докл АН СССР, 1967 т. 173, № 5.
- 4. Панасюк В. В., Теплый М. И. Об однов контактной задаче с учетом сил трения. Прикл. мехачика, 1972, т. 8, вып. 7.
- 5. Морарь Γ . А., Попов Γ . Я. К теории контантных задач для цилиндрических тел с учетом сил трения. МТТ, 1976, № 2.
- Тарасян Ф С. Об одной контактной задаче для цилиндрических тел. Уч. записки ЕрГУ, сер. естественных наук, 1977. № 1.
- 7. Новожилов В. В. Теория тонких оболовек. А., Судпромена, 1951.
- Мускелишения Н. И. Некоторые основные задачи математической теории упругости. М., Наука», 1966.
- 9. Галин Л. А. Кортактиме вадачи теории упругости. М., Гостехивдат, 1953.
- Arutunian N. Kh. and Mkhitarian S. M. Some contact problems for a semi-plane with elastic stiffeners. Trands in clasticity and termoclusticity. Witold Nowacki Anniversary Volume, Groningen, Walters-Noordhoff Publ., 1971, p. 3-20.
- 11. Лригюнян Н. Х., Мхитарян С. М. Некоторые контактные задачи для полуплоскости с частично скрепленными упругими накладами. Изв. АП Арм. ССР. Механика, 1972, т. 25. № 2.
- 12 Арутюнян Н. Х., Мхитарян С. М. Контактная задача о вдавливании штампа в упругую полуплоскость с тонким усиливающим покрытием. ПММ, 1975, т. 39, вып. 5,
- 13. Попов Г. Я. Плоская контактная задача теорин упругости с учетом сил сцепления или трения. ПММ, 1966, т. 30, вып. 3.
- 14 Вейтмен Г., Эрдейи А. Высшие трансцендентные функции т. 1, М., Наука, 1973.
- Грави К. Г. Передача нагрузки от стрингера конечной дамны к двум камповидным упругим пластинам. Дома. АН Арм. ССР, 1974. т. 59, № 4.
- 16. Селе Г. Ортогональные многочлены. М., Физматгия, 1962.
- 17. Учттекер Э., Ватсон Г. Курс современного анализа, т. 3. М., Физматгиз, 1963.